

معادله صریح تعیین عمق بحرانی در کانال‌های ذوزنقه‌ای

An explicit equation for calculating critical depth in trapezoidal channels

علیرضا وطن خواه محمدآبادی * و صلاح کوچک زاده **

چکیده

مقاطع ذوزنقه‌ای از پرکاربردترین مقاطع هندسی در شبکه کانال‌های انتقال و توزیع آب می‌باشد و تعیین عمق بحرانی در این کانالها از ضرورتهای طراحی است. در سالهای اخیر فرمولهای ارائه شده‌اند که امکان محاسبه مستقیم عمق بحرانی را بدون کاربرد روش‌های تکرار با دقت مطلوب فراهم کرده‌اند. در این مقاله معادله صریح جدیدی برای تعیین عمق بحرانی ارائه شده است که سهولت محاسبات، نداشتن محدودیت دامنه کاربرد و ارائه دقیق‌ترین نتایج در بین معادلات پیشنهادی از ویژگیهای آن می‌باشد.

واژه‌های کلیدی: جریان بحرانی، کانال‌های روباز، مقاطع ذوزنقه‌ای، حل عددی

همچنین وانگ (۸) با کاربرد تئوری تکرار حل تحلیلی صریحی برای معادله عمق بحرانی در کانال‌های ذوزنقه‌ای ارائه نمود که اگر چه این معادله عمق واقعی بحرانی را بدون آزمون و خطأ تعیین می‌کند، اما پیچیدگی رابطه وگسترده‌گی آن کاربرد آن را دشوار کرده است. به دلیل عدم دخالت اثر شیب طولی کanal در معادله پیشنهادی وانگ، سوامی (۷) ادعای دقت بالای معادله را مورد تردید قرار داده و معادله خود را به دلیل سهولت کاربرد و قابلیت پذیرش دو شیب دیواره جانبی، برتر دانست. همچنین وو و کاترپودز (۹) ضمن تجلیل از

مقدمه

طراحی کانال‌های روباز و تحلیل جریان در آنها مستلزم تعیین عمق بحرانی است. تعیین عمق بحرانی در مجاري هندسی منظم (مستطیل، ذوزنقه، دایره،...) یا به کمک منحنيهای طراحی (۵،۳،۲،۱) و یا با استفاده از روش‌های عددی مبتنی بر تکرار و آزمون و خطأ ميسر است. سوامی (۶) برای مقاطع ذوزنقه‌ای، ذوزنقه‌ای گرد گوش، ذوزنقه‌ای با کف گرد شده و دایره‌ای روابطی برای تعیین عمق بحرانی ارائه کرده است که در دامنه ابعاد کاربردی، حداقل خطای آنها در حدود دو درصد است.

* - کارشناس ارشد تأسیسات آبیاری دانشکده کشاورزی دانشگاه تهران ، تهران - ایران

** - استادیار گروه آبیاری دانشکده کشاورزی دانشگاه تهران، تهران - ایران

با مربع کردن معادله (۱) و جایگزینی عرض آزاد جریان بحرانی، T_c ، به جای A_c/D_c معادله (۲) به دست می‌آید:

$$\frac{\alpha Q^2}{g \cos \theta} = \frac{A_c^3}{T_c} \quad (2)$$

سمت راست معادله (۲) تابعی از هندسه مقطع و عمق جریان، y_c در حالت بحرانی است. در مقاطع هندسی ساده، به ازای هر بده مشخص، معادله فوق فقط یک جواب برای عمق بحرانی می‌دهد. اما در کانالهای با مقاطع مرکب امکان وقوع بیش از یک عمق برای یک بده مشخص نیز وجود دارد (۱).

از معادله (۲) روابط صریحی برای محاسبه عمق بحرانی در مقاطع مستطیلی و مثلثی به صورت زیر به

$$y_{cr} = \left(\frac{\alpha Q^2}{g b^2 \cos \theta} \right)^{\frac{1}{3}} \quad (3)$$

$$y_{ct} = \left(\frac{2 \alpha Q^2}{g Z^2 \cos \theta} \right)^{\frac{1}{5}} \quad (4)$$

در روابط فوق b = عرض کف کanal، Z = شیب دیواره‌های جانبی کanal، y_{cr} = عمق بحرانی در مقطع مستطیل و y_{ct} = عمق بحرانی در مقطع مثلثی است.

کanal ذوزنقه‌ای

اگر y_c را به عنوان عمق بحرانی در کanal با مقطع ذوزنقه‌ای در نظر بگیریم، معادله (۲) برای چنین مقطعی به صورت زیر در می‌آید:

$$y_c = \left(\frac{\alpha Q^2}{g b^2 \cos \theta} \right)^{\frac{1}{3}} \cdot \frac{\left[1 + \frac{Z y_c}{b} \right]^{\frac{1}{3}}}{1 + \frac{2 Z y_c}{b}} \quad (5)$$

یافته‌های وانگ بر پیچیده بودن رابطه پیشنهادی ایشان تاکید کرده‌اند. از این رو براساس یافته‌های وانگ، وو و کاتوپودز فرمولی را ارائه کرده‌اند که در دامنه ابعاد هندسی کاربردی کانالها، عمق بحرانی را با سهولت بیشتری نسبت به معادله وانگ محاسبه می‌کند. روابط پیشنهادی وو و کاتوپودز در دامنه ابعاد کاربردی حداقل خطا نسبی $1/5\%$ را دربردارد. اما خارج از محدوده ابعاد کاربردی میزان خطای آن از این هم فراتر می‌رود و تا $3/5\%$ می‌رسد (۹). بنابراین معادلات ارائه شده کنونی اگر چه از دقت مطلوبی برخوردار هستند، اما هر کدام به نوعی برای محدوده‌ای قابلیت کاربرد دارند. در این تحقیق معادله صریحی برای محاسبه عمق بحرانی در کانالهای ذوزنقه‌ای ارائه می‌گردد. این معادله علاوه بر نداشتن هیچگونه محدودیت دامنه کاربرد، حداقل خطا نسبی آن کمتر از 45% است که بالاترین دقت در بین معادلات ارائه شده کنونی است. مزید بر آن در محدوده ابعاد عملی مقدار خطای آن به نصف مقدار فوق تقلیل می‌یابد که مزیت آن را نسبت به معادلات موجود تبیین می‌کند.

مواد و روشها

در کانالهای روباز با مساوی قرار دادن عدد فرود برابر با یک و حل معادله حاصل عمق جریان بحرانی قابل محاسبه خواهد بود. اگر توزیع سرعت در مقطع عرضی یکنواخت نباشد و شیب طولی کanal نیز قابل توجه باشد، ضروری است که ضریب انرژی جنبشی α و اثر شیب نیز در نظر گرفته شود، در این صورت عدد فرود در مقطع بحرانی به شکل زیر در می‌آید (۵، ۴، ۳، ۲، ۱):

$$F = \frac{Q/A_c}{\sqrt{g D_c \frac{\cos \theta}{\alpha}}} = 1 \quad (1)$$

که در آن Q = بده جریان، A = سطح مقطع جریان بحرانی، g = شتاب ثقل، D_c = عمق هیدرولیکی در مقطع بحرانی و θ = زاویه کف کanal با افق.

با جایگزینی رابطه (۱۱) در رابطه (۱۰) روابط زیر حاصل می‌شود:

$$\left(\frac{y_c}{y_{cr}}\right)^{-p} = 1 + \left(\frac{M}{\sqrt{2}}\right)^{0.4p}$$

$$k = \left[1 + \left(\frac{M}{\sqrt{2}}\right)^{0.4p} \right]^{\frac{-1}{p}} \quad (12)$$

حال باید مقدار p تعیین گردد. برای این منظور را بین روابط (۸) و (۱۲) حذف می‌کنیم و نمودار تغییرات p بر حسب M را رسم می‌کنیم و منحنی مناسبی بر آن برآش می‌دهیم. معادله منحنی برآش یافته به صورت زیر در آمد:

$$p = 2.095 \left(\frac{M}{\sqrt{2}}\right)^{-0.047} \quad (13)$$

$$p = 2.095 \left(\frac{y_{ct}}{y_{cr}}\right)^{0.1175} \quad (14)$$

بدین ترتیب با تعریف تابع تغییرات p بر حسب مقدار k به صورت تابع صریح از M به وسیله معادله (۱۲) قابل محاسبه است.

نتایج

بر اساس روابط ارائه شده در این مقاله، تعیین عمق بحرانی در مقاطع ذوزنقه‌ای بسیار از آزمون و خطا خواهد بود. مراحل محاسبه بدین ترتیب است که ابتدا اعماق بحرانی مقاطع مستطیلی y_{cr} و مثلثی y_{ct} به ازای بدء و ابعاد کanal مورد نظر به کمک معادلات (۳) و (۴) تعیین می‌شوند، سپس بعد از محاسبه p به کمک معادله (۱۴)، عمق بحرانی مقاطع ذوزنقه‌ای به کمک معادله (۱۵) به صورت زیر در می‌آید:

$$y_c = \left(y_{cr}^{-p} + y_{ct}^{-p} \right)^{\frac{1}{p}} \quad (15)$$

$$\text{با تعریف فاکتور } M = \frac{Zy_{cr}}{b} \text{ و فرض } y_c = ky_{cr} \quad (6)$$

معادله (۵) به صورت زیر در می‌آید:

$$y_c = y_{cr} \frac{(1+2kM)^{\frac{1}{3}}}{1+kM} \quad (7)$$

با مقایسه معادلات (۶) و (۷) مقدار ضریب k برابر خواهد بود با:

$$k = \frac{(1+2kM)^{\frac{1}{3}}}{1+kM} \quad (8)$$

معادله (۸) بیان کننده یک رابطه ضمنی بین k و M بوده و برای $M \geq 0$ و فرض اولیه $k = 1$ همواره همگرا می‌باشد. در اینجا باید به دنبال رابطه صریحی بین k و M به صورت $k = f(M)$ باشیم. دستیابی به تابع صریح مثل f ممکن است بسیار دشوار یا غیر ممکن باشد، اما اگر رابطه‌ای یافت شود که بتواند تابع فوق را بادقت زیادی تخمین زند، مقصود حاصل شده است. در اینجا برای تعریف چنین رابطه‌ای فرض می‌شود بتوان عمق جریان بحرانی در مقاطع ذوزنقه‌ای را به کمک عمق بحرانی مقاطع مستطیلی که عرض کف آن هم عرض کف مقاطع ذوزنقه‌ای باشد، و عمق بحرانی مثلثی که شبیه دیواره جانبی آن هم شبیه مقاطع ذوزنقه‌ای باشد، به وسیله معادله زیر به دست آورد:

$$\frac{1}{y_c} = \frac{1}{y_{cr}} + \frac{1}{y_{ct}} \quad (9)$$

رابطه (۹) فقط برای مقاطع مستطیلی، $0 < z < b$ صادق است و برای اینکه در مقاطع ذوزنقه‌ای نیز صادق باشد با وارد کردن نمایی مثل p آنرا متعادل می‌کنیم:

$$y_c^{-p} = y_{cr}^{-p} + y_{ct}^{-p} \quad (10)$$

از آنجا که نسبت بین اعماق بحرانی مثلثی و

$$\frac{y_{ct}}{y_{cr}} = \left(\frac{M}{\sqrt{2}}\right)^{-0.4} \quad (11)$$

حداکثر خطای نسبی برای دقت مذکور در حد ۲٪ است.

بحث و نتیجه‌گیری

طراحی شبکه‌های انتقال آب با سطح آزاد مستلزم محاسبه عمق بحرانی است. طراحی کanal با مقطع هندسی ذوزنقه بیشترین کاربرد را در شبکه‌های آبیاری و زهکشی دارد. محاسبه عمق بحرانی در این مقطع مستلزم استفاده از گرافهای طراحی با پذیرش درصد قابل توجه خطا یا کاربرد روش آزمون و خطا می‌باشد. در بیست سال گذشته محققین کوشش‌هایی برای ارائه راه حل‌های با دقت مطلوب و قابلیت کاربرد وسیع به عمل آورده‌اند. اگرچه کوشش‌های انجام شده به نتایج مطلوبی رسیده است، اما این نتایج در مواردی با محدودیت دامنه کاربرد مواجه بوده‌اند و یا حجم عملیات محاسباتی فرمول‌های ارائه شده زیاد بوده و یا میزان ماکریم خطا ایجاد شده زیاد می‌باشد (در حد ۲٪). در تحقیق فعلی رابطه ارائه شده علاوه بر نداشتن محدودیت دامنه کاربرد، ماکریم خطا نسبی آن در حد ۴۵٪ است و در دامنه ابعاد کاربردی سازه‌ها این خطا در حد ۲۸٪ است که از معادلات پیشنهادی کنونی بسیار دقیق‌تر است.

تشکر و قدردانی

بدینوسیله از معاونت محترم پژوهشی دانشگاه تهران که امکانات و فضای مناسب تحقیق را فراهم نموده‌اند تشکر و قدردانی می‌شود.

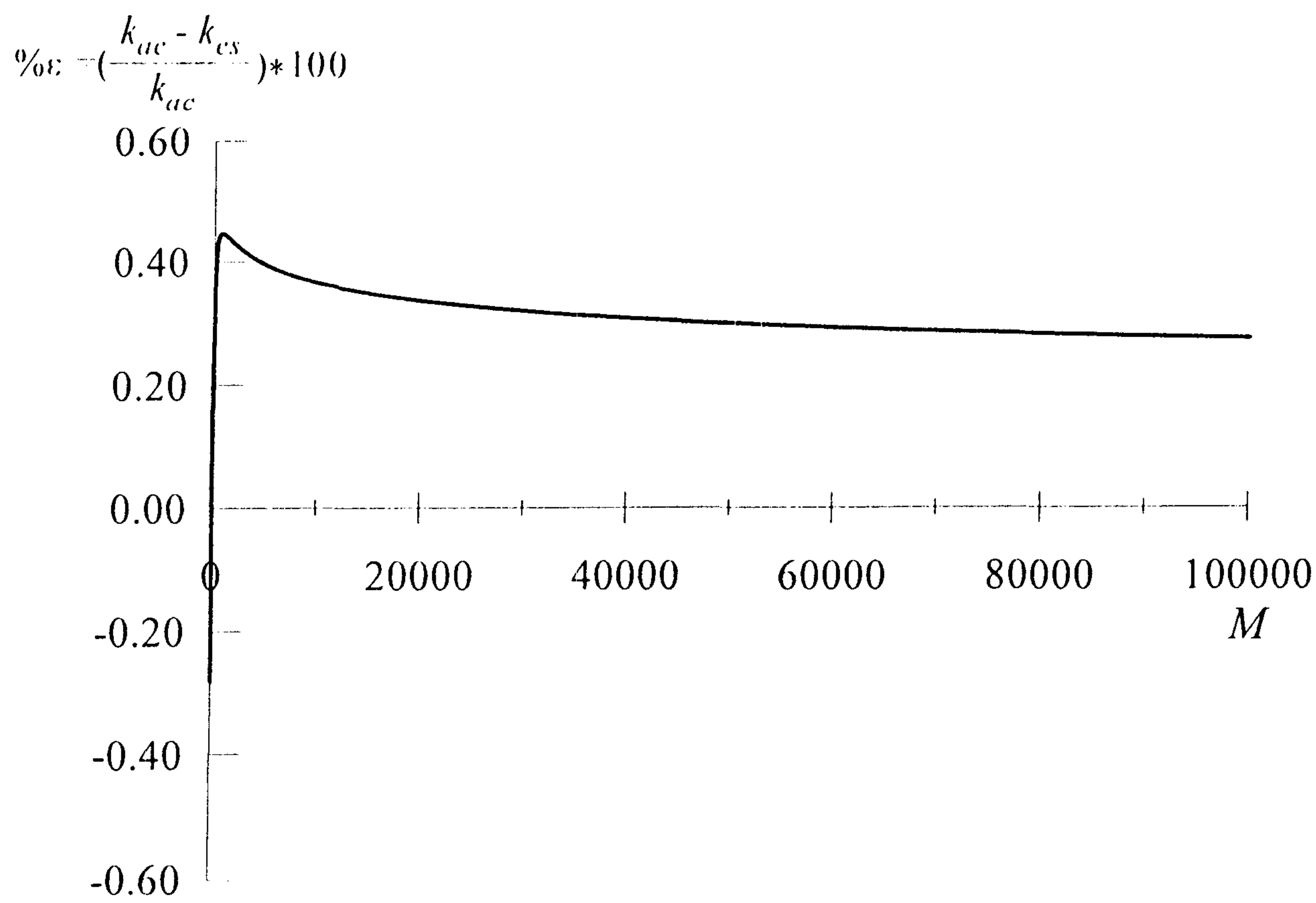
References

منابع مورد استفاده

- Chaudhry MH (1993) Open Channel Flow, Printice Hall Co. NY.
- Chow VT(1959) Open Channel Hydraulics, McGraw -Hill Co. NY.
- French RH (1986) Open Channel

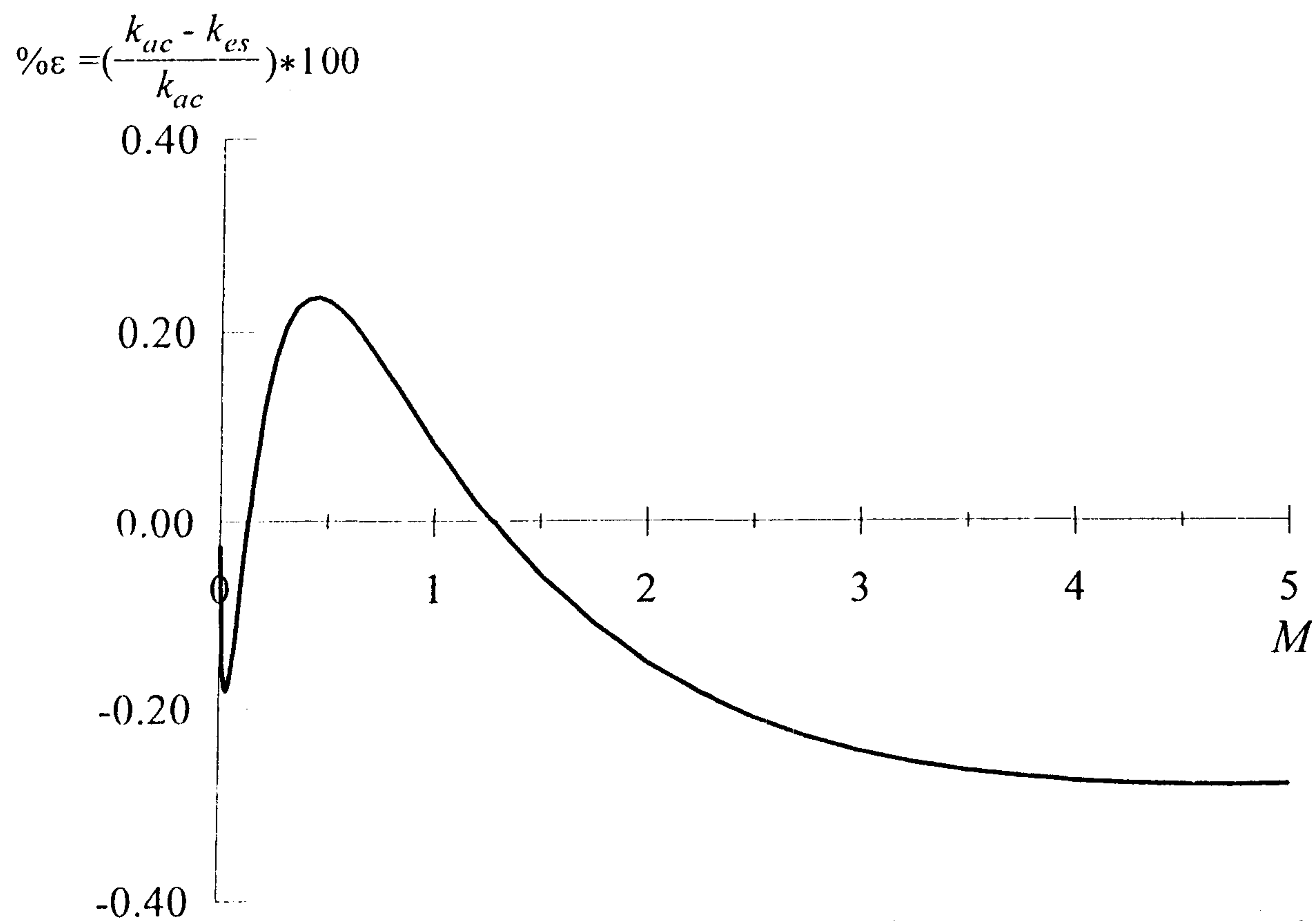
بررسی میزان خطا

برای بررسی میزان خطا، مقادیر محاسبه شده k از معادلات (۸) و (۱۲) مورد مقایسه قرار گرفته‌اند. اگر نتایج رابطه ضمنی (۸) با هر دقت دلخواه به عنوان حل واقعی تلقی گردد، میزان خطا را نسبت به این حل واقعی می‌توان تعیین کرد. در اینجا مقدار k برای مقادیر مختلف $M \geq 0$ با دقت 10^{-15} محاسبه شده و به عنوان حل واقعی k_{ac} در نظر گرفته شده است. بر این اساس برنامه کامپیوتی تنظیم گردید که مقادیر واقعی و مقادیر تخمینی k_{es} را محاسبه و میزان خطا را تعیین می‌کند. اگر چه عمدتاً دامنه تغییرات M برای ابعاد عملی کanalها بین صفر و ده قرار می‌گیرد، امامقادیر k برای دامنه تغییرات $0 \leq M \leq 10^4$ محاسبه شده و در شکل ۱ ارائه شده است. همانطور که مشاهده می‌شود در چنین دامنه بسیار وسیعی حداکثر خطا کمتر از ۰/۴۵٪ است که کمترین مقدار بین معادلات ارائه شده کنونی می‌باشد. میزان ماکریم خطا در محدوده‌ای واقع می‌شود که ارزش کاربرد عملی ندارد، در محدوده ابعاد کاربردی میزان حداکثر خطا، همانطور که در شکل ۲ ارائه شده است، تقریباً به نصف مقدار فوق تقلیل می‌یابد که نشان دهنده ارزش کاربردی قابل توجه معادلات پیشنهادی است. برای مقایسه عمق بحرانی محاسبه شده با یکی از روش‌های تکرار متداول و فرمول پیشنهادی، کanal ذوزنقه‌ای با عرض کف ده متر و شیب دیواره جانبی ۱/۵ در نظر گرفته شد. عمق بحرانی برای بددهای ۱ تا ۱۰۰ متر مکعب بر ثانیه با هر دو روش محاسبه و در شکل ۳ ارائه شده است. همانطور که ملاحظه می‌شود دو منحنی عمق واقعی y_{ca} و عمق محاسبه شده به روش پیشنهادی y_{ce} عملاً بر هم منطبق هستند. شکل ۴ میزان خطا نسبی بین روش تکرار که با دقت 10^{-12} محاسبه شده و به عنوان حل واقعی در نظر گرفته شده است، و روش پیشنهادی در دامنه بده مذکور برای عرض کف‌های ده و پنج متر را ارائه می‌دهد. همانطور که مشاهده می‌شود



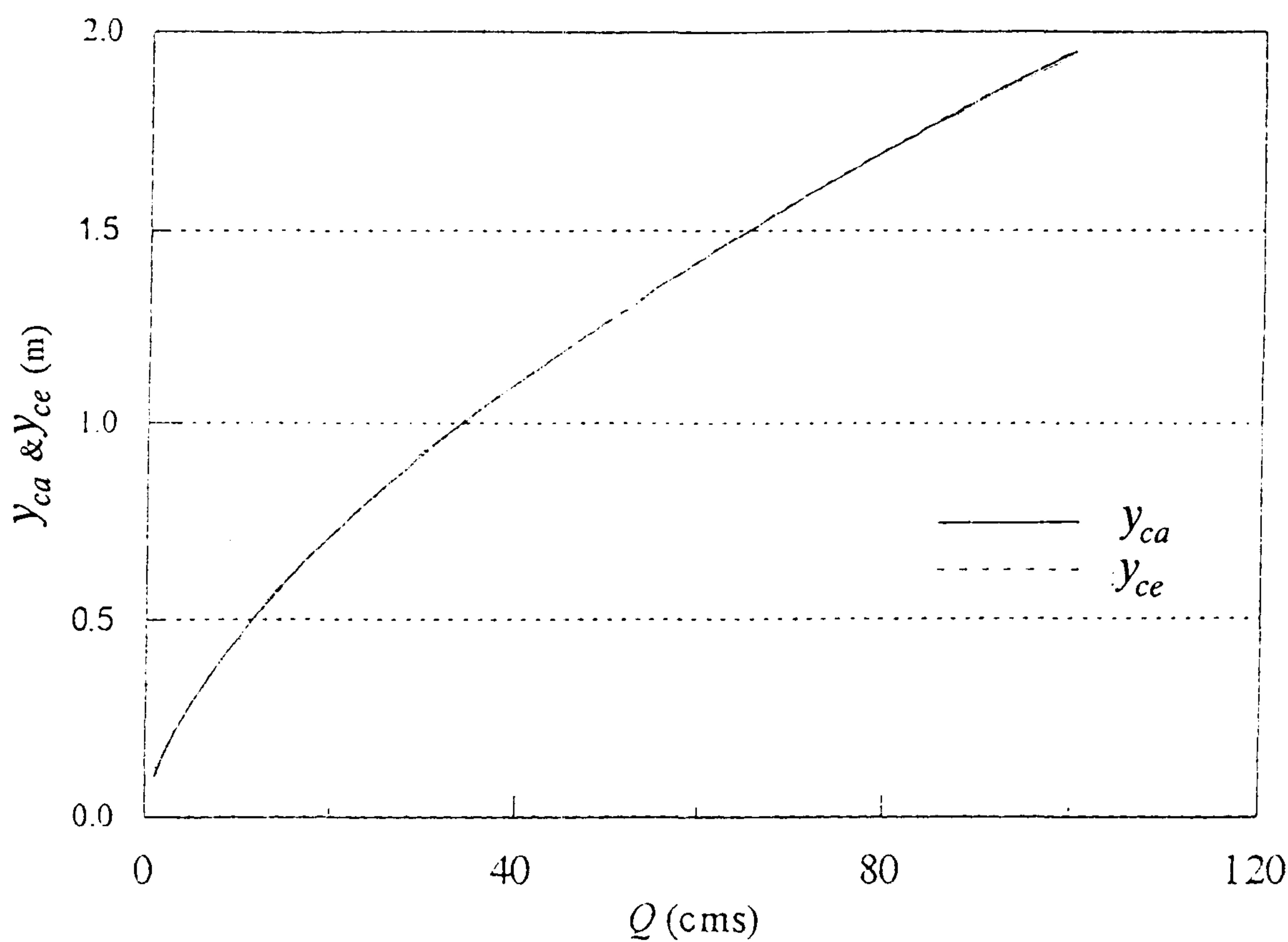
شکل ۱ - تغییرات درصد خطای نسبی ضریب k برای دامنه وسیع M

Fig 1. Relative error of k for a wide range of M



شکل ۲ - تغییرات درصد خطای نسبی ضریب k برای دامنه کاربردی M

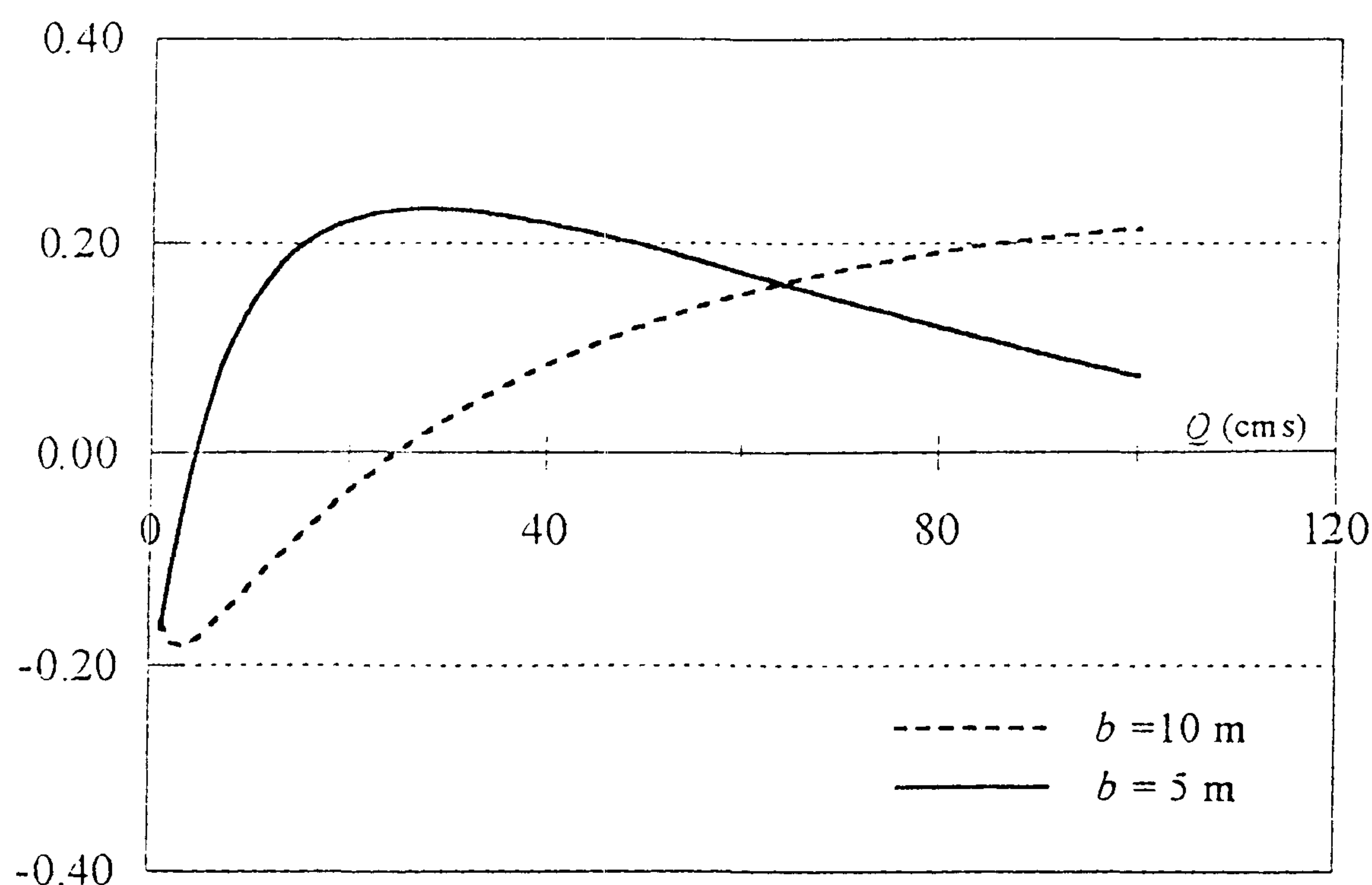
Fig 2. Relative error of K associated with practical range of M



شکل ۳ - تغییرات اعمق بحرانی y_{ca} و y_{ce} برای بددهای مختلف

Fig 3. Comparison between actual critical depth y_{ca} and computed values, y_{ce} , for a range of discharges

$$\% \epsilon = \left(\frac{y_{ca} - y_{ce}}{y_{ca}} \right) * 100$$



شکل ۴ - تغییرات درصد خطای نسبی اعمق بحرانی برای مثال ارائه شده

Fig 4. Relative errors associated with critical depths calculation of the design example using the proposed method

- Hydraulics, McGraw-Hill Co. NY.
- 4 . Graf WH (1998) Fluvial Hydraulics. John Wiley Co., NY.
- 5 . Henderson FM (1966) Open Channel Flow. MacMillan Co. NY.
- 6 . Swamee PK (1993) Critical depth equations for irrigation canals. Journal of Irrigation and Drainage Engineering, ASCE, Vol. 119, No 2:400-409.
- 7 . Swamee PK (1999) Discussion on formula for calculating critical depth of trapezoidal open channel by Wang . Journal of Hydraulic Engineering, ASCE , Vol. 125, No 7:787.
- 8 . Wang Z (1998) Formula for calculating critical depth of trapezoidal open channel. Journal of Hydraulic Engineering, ASCE, Vol. 124, No 1:90-91.
- 9 . Wu S and Katopodis C (1999) Discussion on formula for calculating critical depth of trapezoidal open channel by Wang . Journal of Hydraulic Engineering, ASCE, Vol. 125, No 7:786.